α 1,6 葡聚糖酶基因的克隆及在毕赤酵母中的表达

钟丽娟, Bwegendaho Damien, 陈龙军, 凌雪萍, 何宁, 卢英华* (厦门大学化学化工学院,福建厦门 361005)

摘要: 根据朱黄青霉(Penicillium minioluteum HF4) @ 1,6 葡聚糖酶的基因序列,人工合成 @ 1,6 葡聚糖酶基因并将其 插入毕赤酵母(Pichia pastoris) 表达载体 pPICZa A, PCR 和双酶切验证结果均表明成功构建了重组质粒 pPICZa A- Dex. 重组质粒经 Sac I 线性化后整合到毕赤酵母 X33 基因组中进行表达,摇瓶发酵表明,重组毕赤酵母经甲醇诱导 120 h 产 酶活力达到最高值 29.2 U/ mL, SDS PAGE 结果显示在 67 ku 附近 有明显的条带, 与 α 1, 6 葡聚糖酶理论 分子质量相符 合.

关键词: @ 1.6 葡聚糖酶: 朱黄青霉: 毕赤酵母

中图分类号: 0 78

文献标志码: A

文章编号: 0438 0479(2011) 01 0093 04

葡聚糖(dextran)是 D-吡喃葡萄糖的聚合物,主 要通过 \(\alpha\) 1,6 糖苷键,以及少量的 \(\alpha\) 1,2,\(\alpha\) 1,3 和 \(\alpha\) 1, 4糖苷键连接, 葡聚糖由于其良好的生物相容性被广 泛用于医疗领域,如做成葡聚糖胶囊控制药物释放[1], 特定分子质量的葡聚糖溶液还可用作代用血浆[2] 等. 但是葡聚糖也有很多副作用,如:在制糖工业中,葡聚 糖使糖汁粘度增高导致过滤困难、蔗糖的结晶效率降 低,形成针状晶体,降低离心分离过程中糖蜜的清除效 率, 使糖的精炼质量下降: 葡聚糖还会使饮料产生絮状 物, 使糖果变形, 精糖的葡聚糖含量指标规定不超过 $20 \times 10^{-6[3.5]}$; 同时, 食物中的葡聚糖会与唾液中的糖 蛋白形成牙菌斑, 进而导致龋齿[67]. 在1, 6 葡聚糖酶 (c1,6 dextranase, EC3. 2. 1. 11)(67 ku) 通过水解葡 聚糖中的 α1.6 糖苷键, 把葡聚糖分解成小分子的葡 萄糖、低聚异麦芽糖、异麦芽糖,从而降低糖液的粘度, 缩短煮沸和蒸发时间,提高结晶效率和净化器的效率, 提高糖的质量[3.5]:通过 α 1, 6 葡聚糖酶的水解作用控 制葡聚糖的大小,可以满足医疗领域对血浆的需求:使 用添加了α1,6葡聚糖酶的牙膏,可以预防龋齿和牙 菌斑的形成[8]. 因此, 近年来, & 1, 6 葡聚糖酶受到了 研究人员的重视, 然而, 由于其主要为真菌表达产 物[2], 天然菌株的产酶量满足不了实际应用的要求, 因 此,利用基因工程技术构建高效表达 & 1,6 葡聚糖酶 的重组菌株,对提高酶的产量具有重要意义.

收稿日期: 2010-05-19

基金项目: 科技部科研院所技术开发研究专项资金(NCSTE-2007

JKE G 023)

朱黄青霉(Penicillium minioluteum HF4)是一 种能够合成 α 1, 6 葡聚糖酶的真菌, 然而其产酶量很 低.不适于直接用于工业生产. 毕赤酵母(Pichia pastoris) 不仅具有大肠杆菌繁殖快、易于培养、遗传操作 简单和易于工业化生产等原核生物的特点,还具有真 核生物基因表达调控和蛋白修饰功能, 如糖基化、蛋白 磷酸化等,避免了产物形成包涵体,活性降低等问题; 再者, 毕赤酵母还具有醇氧化酶基因 AOX1 启动子, 可以严格控制外源基因的表达:此外,毕赤酵母自我分 泌的蛋白极少,同时其表达质粒 pPICZαA 具有编码 α 信号肽、6×his 标记的基因以及Zeocin 抗性基因、不 仅可以高效分泌表达外源蛋白, 而且有利于目的蛋白 的纯化[9]. 因此. 将朱黄青霉 & 1. 6 葡聚糖酶基因 (Dex) 导入毕赤酵母高效表达体系, 有望获得具有大 规模工业生产价值的重组菌株. 本研究以朱黄青霉为 出发菌,以 pPICZaA 为表达载体,通过基因克隆技术, 在毕赤酵母中成功表达 α1.6 葡聚糖酶基因.

材料与方法

料 1. 1 材

1.1.1 菌种和质粒

大肠杆菌(Escherichia coli) DH5a,本实验室保 存; 毕赤酵母 X33, 本实验室保存; 质粒 pPICZαA, 购 于 Invitrogen 公司.

1.1.2 工具酶和试剂盒

EcoRI, NotI, SacI, Taq 酶, T4 DNA 连接酶

均购息。TaKaRa(太连)有限公司tp://www.cnki.net * 通信作者: ylu@xmu.edu.cn © 1994-2011 China Academic Journal Electronic Publishi

质粒小量提取试剂盒, DNA 凝胶回收试剂盒均购 自广州东盛生物科技有限公司.

1.2 实验方法

1.2.1 DNA 的提取

质粒 DNA 的提取参考广州东盛生物科技有限公司质粒小量提取试剂盒说明书.

1.2.2 朱黄青霉 Dex 基因的获得

根据美国专利数据库(专利号: 5637491) 中所报道 朱黄青霉 HF4 的 Dex 基因序列^[10],人工合成 Dex 基因. 基因的合成委托上海英骏生物技术有限公司.

1.2.3 Dex 基因的扩增

根据 Dex 的基因序列设计下列引物: 上游引物 (P1): 5-TCGCGAATTCATGGGCACTACGAATA-ATACCCA-3',下游引物(P2): 5-ATCTGCGGCCGCGGGGAAACCTGGAAATGTCCTTATT-3'. 下划线处为引入的限制性酶切位点, P1 带 EcoRI 酶切位点, P2 带 NotI 酶切位点. 引物委托上海英骏生物技术有限公司合成. 以人工合成的 Dex 基因为模板 PCR 扩增 Dex 基因,预期目的片段大小约为 2 000 bp. PCR 反应条件为: 95 °C, 4 min; 94 °C, 1 min; 56 °C, 1 min; 72 °C, 1 min; 循环 30 次; 72 °C, 10 min.

1. 2. 4 pPICZαA-Dex 载体的构建

PCR 扩增产物及载体 pPICZαA 用 EcoRI 和 NotI 双酶切, 在质量分数为 1% 的琼脂糖凝胶电泳分别回收相应的条带, 用 T4 连接酶 16 ℃过夜连接, 反应体系为 1 μ L $10 \times$ T4 连接酶缓冲液, 1 μ L T4 DNA 连接酶, 4 μ L Dex 基因, 1 μ L pPICZαA, 3 μ L 蒸馏水. CaCl2 法转化大肠杆菌 DH 5α, 涂布于含有 Zeocin(25 μ g/ mL) 的 LB 平板上, 37 ℃培养 16 h, 筛选阳性克隆. CaCl2 转化方法参考文献[11].

1.2.5 毕赤酵母分泌表达系统的构建

选取正确重组子,提取其质粒 DN A 经 Sac I 酶切后线性化,用电转化法转入毕赤酵母 X33 感受态细胞,用含 $Zeocin(100 \mu g/mL)$ 的 $YPD(yeast\ extract\ peptone\ dextrose\ medium)$ 平板筛选,获取外源 Dex 基因成功整合插入毕赤酵母 X33 染色体的重组菌株.电转化方法参考文献[11].

1.2.6 重组酵母的培养

将重组酵母接种于 25 mL BMGY 培养基 (10 g/ L 酵母提取物, 20 g/L 蛋白胨, 13.4 g/L YNB, 0.4 mg/L 生物素, 体积分数为 1% 的甘油)中, 28 ℃, 200

1.2.7 重组酵母的诱导表达

培养液于 4 000 r/min 离心 5 min 收集菌体, 把菌体加入到 50 mL 诱导培养基 BM M Y (10 g/L 酵母提取物, 20 g/L 蛋白胨, 13. 4 g/L YNB, 0. 4 mg/L 生物素, 体积分数为 0.5%的甲醇, pH 6.0) 中, 28 ℃, 200 r/min 诱导培养 144 h. 每隔 24 h 取样 500 μL, 并补加体积分数为 5%的甲醇 500 μL, 使总体积保持不变.

1.2.8 Dex 酶活性测量方法

利用 DNS 法 12 测定还原糖的含量来计算 α 1, 6 葡聚糖酶的活性, 酶活力单位(U) 定义为在 40 $^{\circ}$ $^{\circ}$ $^{\circ}$ $^{\circ}$ 5. 5 条件下, 每分钟催化底物葡聚糖 T 2000 水解产生 $^{\circ}$ $^{\circ}$

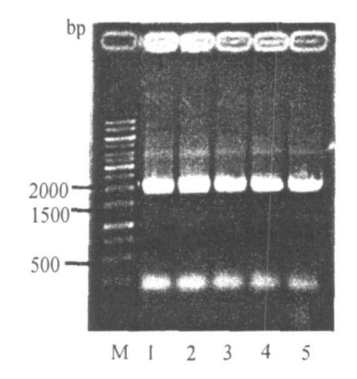
1.2.9 Dex 的 SDS-PAGE 分析

将重组毕赤酵母诱导培养于 50 mL BM M Y 培养基中,培养 120 h,取培养液于 4000 r/min 离心 5 min 后,取上清 90 μL 于 10 μL 10×上样缓冲液混合均匀,沸水中煮 5 min,取 10 μL 进行 SDS-PAGE.分离胶浓度 12% (质量分数),浓缩胶浓度 5% (质量分数), Bio-Rad 电泳仪电泳,电压 120 V,电泳 90 min.银染观察.

2 结果与分析

2.1 PCR 扩增 Dex 基因

以人工合成的 Dex 基因为模板, 利用引物 P1、P2 进行扩增 Dex 基因. 扩增产物经质量分数为 1% 的琼脂糖凝胶电泳鉴定, 结果显示在 2 000 bp 左右出现特异性条带(图 1), 与预期目的片段大小一致.



Lane M. DNA Marker; Lane 1~ 5. Product of PCR.

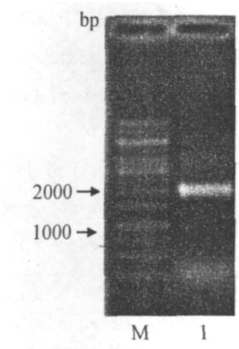
图 1 PCR产物凝胶电泳

Fig. 1 Agarose gel electrophoresis of PCR product

2.2 pPICZαA-Dex 分泌表达载体的构建

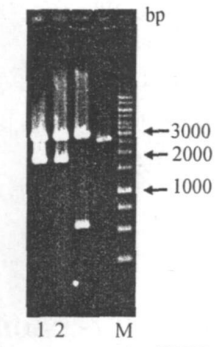
PCR扩增获得的 Dex 基因及pPICZαA载体用

r/min 培養241hChina Academic Journal Electronic Publishing House. All rights reserved. http://www.cnki.net



Lane M. 1 kb Marker; Lane 1. PCR product of $pPICZ_{\alpha}A$ -Dex.

图 2 pPICZαA-Dex PCR 鉴定 Fig. 2 PCR identification of pPICZαA-Dex



Lane M. 1 kb Marker; Lane 1 \sim 2. pPICZ $_{\alpha}$ A-Dex digested by $EcoR\ I\ \Re I\ Not\ I$.

图 3 pPICZαA-Dex 双酶切鉴定 Fig. 3 Restriction indentification of pPICZαA-Dex

EcoRI 和 NotI 双酶切回收后连接, 转入大肠杆菌 DH 5 α , 利用含有 $Zeocin(25 \mu g/L)$ 的 LB 平板上筛选 出阳性克隆. 提取质粒通过 PCR 验证和 EcoRI 、NotI 双酶切验证, 均得到了约 2 000 bp 的条带(图 2, 3), 证明 Dex 基因已经成功连接到pPICZ α A 载体上, 将所得到的重组质粒命名为 pPICZ α A-Dex.

2.3 重组毕赤酵母产酶诱导表达

提取质粒 pPICZ α A-Dex 经 Sac I 酶切线性化后, 电转化转入毕赤酵母 X33 感受态细胞, 利用含 Zeocin (100 μ g/ mL) 的 YPD 平板筛选出重组毕赤酵母. 对电转化筛选出的 7 株重组毕赤酵母进行诱导表达, 筛选出来一株产酶活力最高的重组酵母菌, 其产酶曲线如图 4 所示. 从图 4 可知, 在摇瓶发酵中, 经甲醇诱导120 h 时酶活力达到最大值 29.2 U/ mL.

2.4 SDS PAGE 分析

2.3 中摇瓶发酵的样品, 离心取上清进行 SDS-PAGE, 由图 5 可知, 在约 66.2 ku 附近有明显的条带, 与预期α 1,6-葡聚糖酶大小一致, 表明朱黄青霉

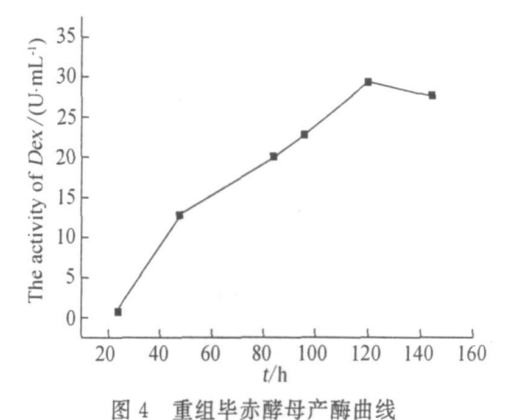
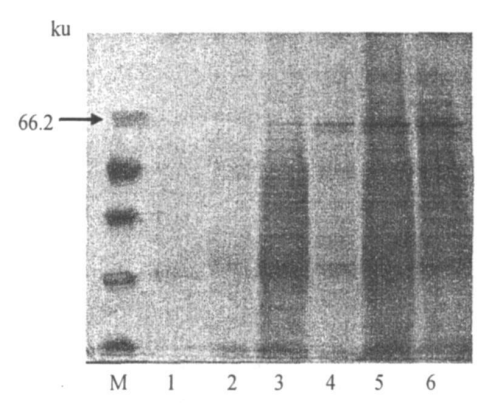


Fig. 4 The curve of enzyme activity of reconstructed

Pichia pastoris



Lane M. Marker; Lane 1. 24 h; Lane 2. 48 h; Lane 3. 84 h; Lane 4. 96 h; Lane 5. 120 h; Lane 6. 144 h.

图 5 重组毕赤酵母表达产物 SDS-PAGE 分析
Fig. 5 SDS-PAGE result of the product of reconstructed

Pichia pastoris

Dex 基因在毕赤酵母 X33 中得到表达, 并且随着发酵时间的延长, 产酶量增加, 与产酶曲线变化一致.

3 结 论

随着人们对糖类物质质量和数量要求的提高,以及医疗领域对代用血浆需求的增大, α 1, 6 葡聚糖酶日益受到人们的重视,提高 α 1, 6 葡聚糖酶的产量和质量也成为国内外研究的热点. α 1, 6 葡聚糖酶主要为真菌的胞内产物,产量低而且不容易分离纯化.本文成功构建了 pPICZ α A-Dex 分泌表达载体,并以毕赤酵母 X33 为宿主表达了 α 1, 6 葡聚糖酶. 筛选得到的重组菌株在摇瓶中发酵,随着发酵时间的延长,产酶量增加,经甲醇诱导 120 h 时酶活力达到最大值 29. 2 U/mL. 另外,对重组菌培养基优化以及对 α 1, 6 葡聚糖酶等性质的研究工作正在进行中,有望提高 α 1, 6 葡聚糖酶的质量和产量,以满足工业化的要求.ng House. All rights reserved. http://www.cnki.net

参考文献:

- 1] Mehvar Reza. Dextrans for targeted and sustained delivery of therapeutic and imaging agents [J]. Journal of Controlled Release, 2000, 69(1): 1-25.
- [2] Lee J M, Fox P F. Purification and characterization of Paecilomyces lilacinus dextranase [J]. Enzyme and Mir crobial Technology, 1985, 7(11): 573-577.
- [3] Eggleston G, Monge A. Optimization of sugarcane factory application of commercial dextranases [J]. Process Biochemistry, 2005, 40: 1881-1894.
- [4] Ramon L Sidebotham. Dextrans[J]. Advances in Carbohydrate Chemistry and Biochemistry, 1974, 30: 371-444.
- [5] Chen Lin, Zhou Xiangshan, Fan Weimin, et al. Expression, purification and characterization of a recombinant *Lipo-myces starkey* dextranase in *Pichia pastoris* [J]. Protein Expression and Purification, 2008, 58: 87-93.
- [6] Pleszczynska M, Szczodrak J, Rogalski J, et al. Hydrolysis of dextran by *Penicillium notatum* dextranase and identification of final digestion products [J]. Mycological Research, 1997, 101(1): 69-72.

- [7] Roca H, Garcia B, Rodriguez E, et al. Cloning of the Penicillium minioluteum gene encoding dextranase and its expression in Pichia pastoris [J]. Yeast, 1996, 12: 1187-1200.
- [8] Marotta M, Martino A, De Rosa A, et al. Degradation of dental plaque glucans and prevention of glucan formation using commercial enzymes [J]. Process Biochemistry, 2002, 38(1):101-108.
- [9] 罗竞红, 游自立. 巴斯德毕赤酵母表达系统在外源基因表达中的研究进展[J]. 生物技术通报, 2007, 3:75 79.
- [10] Campana H R, Garcia G arcia B M, Delgado Boada J M, et al. Dextranase enzyme, method for its production and DNA encoding the enzyme: United States, 5637491[P]. 1997 06 10.
- [11] 萨姆布鲁克 J, 拉塞尔 D W. 分子克隆实验指南[M]. 北京: 科学出版社, 2002.
- [12] Lorenz Miller G. Use of dinitrosalicylic acid reagent for determination of reducing sugar[J]. Analytical Chemistry, 1959, 31(3): 426 428.

Cloning of a Recombinant Dextranase and Its Expression in *Pichia p ast oris*

ZHONG Li juan, Bwegendaho Damien, CHEN Long jun, LING Xue ping, HE Ning, LU Ying hua*

(College of Chemistry and Chemical Engineering, Xiamen University, Xiamen 361005, China)

Abstract: The \$\alpha\$1, \$\Gamma\$ dextranase gene was amplified from a synthetic \$\alpha\$1, \$\Gamma\$ dextranase gene derived from \$P\$ enicillium minioluteum HF4 and was inserted into plasmid pPICZaA. The recombinant plasmid named pPICZaA- Dex was identified by PCR and enzyme digestion, and was then electrotransformed into \$P\$ ichia pastoris X33. The recombinant \$P\$ ichia pastoris X33 was induced to express the dextranase using methanol. The enzyme activity reached 29. 2 U/mL after 120 h of induction. The size of the recombinant \$\alpha\$1, \$\Gamma\$ dextranase is approximately 67 ku analyzed by SDS-PAGE, which is consistent with the theoretical molecular weight.

Key words: α1, 6 dex tranase; *Penicillium minioluteum*; *Pichia p astoris*